



TU Berlin Fakultät IV
Institut für Energie und Automatisierungstechnik
Fachgebiet Elektronische Mess- und Diagnosetechnik
Praktikum Messdatenverarbeitung

Praktikum Messdatenverarbeitung

Termin 7

Özgü Dogan (326 048)
Timo Lausen (325 411)
Boris Henckell (325 779)

10. Juli 2012

Gruppe: G1 Fr 08-10

Betreuer: Jürgen Funk

Inhaltsverzeichnis

1 Vorbereitungsaufgaben	1
1.1 Vorbereitungsaufgaben zu Termin 7	1
1.1.1 Chirp-Signal erzeugen	1
1.1.2 Matlab-Funktion: Frequenzverlauf über der Zeit	2
1.1.3 Matlab-Funktion: Frequenzverlauf anhand Spektrogramm	3
1.1.4 Drehzahl-Berechnung anhand Amplitudenspektrum des Motorstroms	4
1.2 Vorbereitungsaufgaben zu Termin 8	6
1.2.1 Zerlegung des Signals mittels Haar-Tranformation	6
1.2.2 Darstellung der Approximationen	7
1.2.3 Daubechies-Wavelets	8
1.2.4 Vergleich der Zerlegungen mittels Daubechies-Wavelets und Haar-Wavelets	9
2 Durchführungen	12
2.1 Durchführung zu Termin 7	12
2.2 Durchführung zu Termin 8	12
3 Auswertung	13
3.1 Auswertung Termin 7	13
3.2 Auswertung Termin 8	13
4 Quellcodes	22
4.1 Codes aus Termin 7	22
4.1.1 Frequenzverlauf über der Zeit	22
4.1.2 Frequenzverlauf aus dem Spektrogramm	23
4.1.3 Algorithmus zur Drehfrequenzberechnung	24
4.2 Codes aus Termin 8	25
4.2.1 Funktion haardec.m	25
4.2.2 Funktion haardecleve.l.m	26
4.2.3 Funktion getAppDet.m	27
4.2.4 Funktion Daubechies_Wavelets.m	27
4.2.5 Vorbereitungsaufgaben Plots	28

1 Vorbereitungsaufgaben

1.1 Vorbereitungsaufgaben zu Termin 7

1.1.1 Chirp-Signal erzeugen

Als erstes sollte anhand Matlab ein chirp-Signal erzeugt und untersucht werden. Dieser wurde mit dem Aufruf `chirp()` erzeugt, dem man einen Zeitvektor, die Startfrequenz und weitere Angaben über den Verlauf geben konnte. Bei unserem Signal sollte ein linearer Frequenzanstieg erfolgen.

Als Beispiel wurde folgendes Signal erstellt:

```
t = 0 : 0.001 : 2  
chirp(t,0,1,100)
```

Das Chirp-Signal und das Spektrogramm dazu sehen so aus:

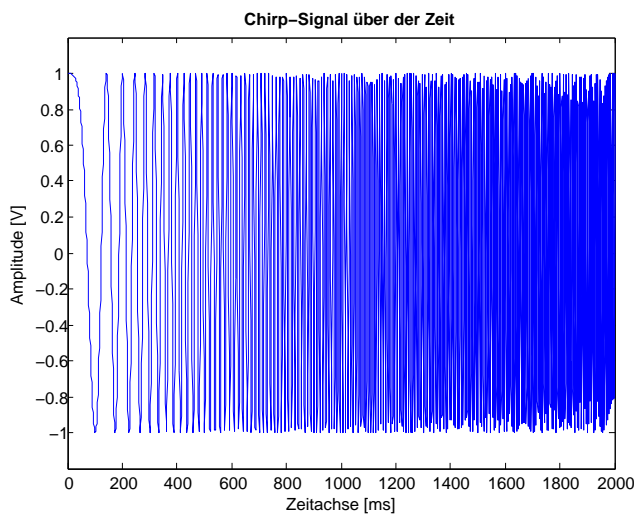


Abb. 1: erzeugtes Chirp-Signal über der Zeit

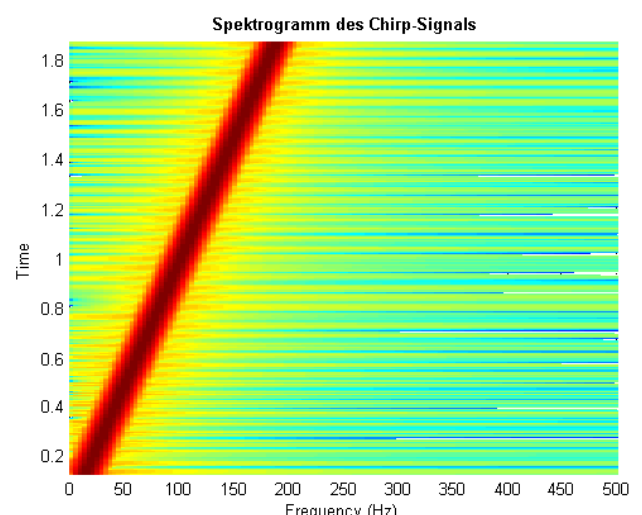


Abb. 2: Spektrogramm des erzeugten Chirp-Signals

Man sieht einen Sinusverlauf, dessen Frequenz mit der Zeit immer größer wird. Wir vermuten einen linearen Abstieg der Frequenz. Im Spektrogramm kann man deutlich sehen, dass nach einer Sekunde die Frequenz den erwünschten Wert von 100Hz annimmt.

Weiterhin kann man die Auswirkung der Eingabeveriablen des Spektrogrammaufrufs auf das entstehende Spektrogramm untersuchen. Hier sind zwei Beispiele, in denen einmal die Überlappungsfäche zwischen zwei Segmenten verkleinert wird und einmal die verwendete Fenstergröße vergrößert wird.

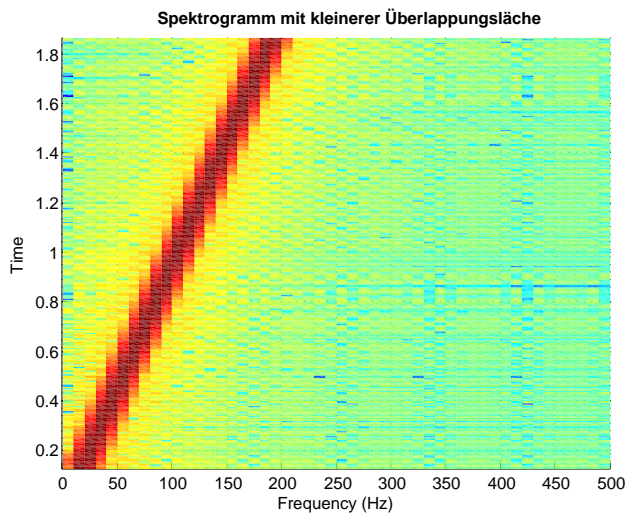


Abb. 3: Überlappung zwischen den Segmenten im Spektrogramm wird kleiner gewählt

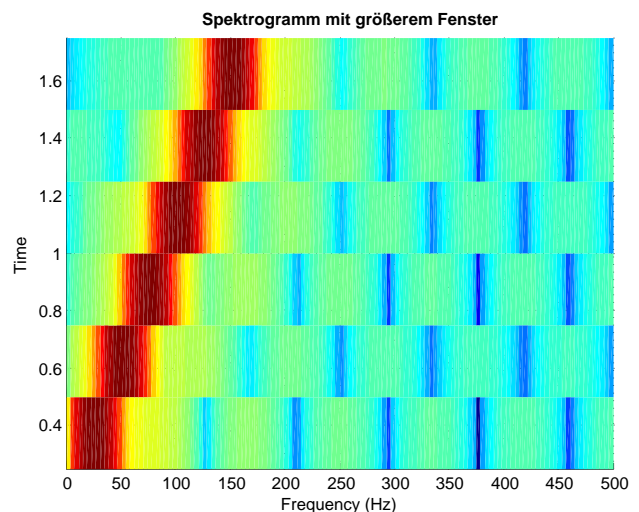


Abb. 4: verwendete Fensterfolge wird größer gewählt

Innerhalb des gewählten Fensters, kann das verwendete Signal als stationär angenommen werden. Wird das Beobachtungsfenster kürzer, nimmt auch die Frequenzauflösung ab. Wird das Fenster zu groß, kann wiederum das Signal innerhalb des Fensters nicht mehr als stationär angenommen werden. Die Verschlechterung und Ungenauigkeiten im Spektrogramm kann man in den Plots oben gut erkennen.

1.1.2 Matlab-Funktion: Frequenzverlauf über der Zeit

Als nächstes sollte eine Matlab-Funktion erstellt werden, die im Zeitbereich die momentane Frequenz ermittelt. Dieser berechnete Frequenzverlauf über der Zeit sollte geplottet und mit dem erwarteten Verlauf verglichen werden. In die erstellte Funktion kann in den Codes am Ende des Protokolls eingesehen werden. Der entstandene Plot ist hier zu sehen:

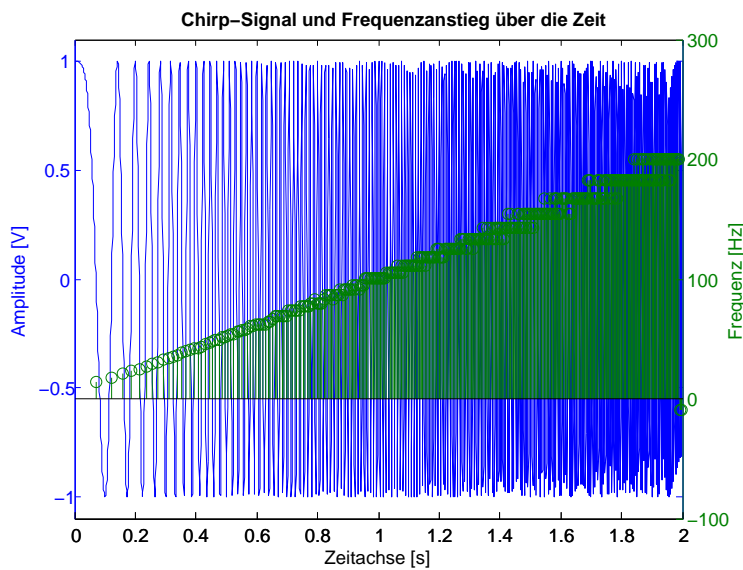


Abb. 5: Chirp-Signal und der dazugehörige Frequenzanstieg, berechnet aus dem Zeitsignal

Da beim Erstellen des Chirpsignals ein linearer Anstieg der Frequenz vorausgesetzt war, wurde auch ein linearer Frequenzverlauf erwartet. Das Ergebnis bestätigt die Erwartung.

1.1.3 Matlab-Funktion: Frequenzverlauf anhand Spektrogramm

Nun sollte der gleiche Frequenzverlauf anhand des Spektrogramms ermittelt werden. Dafür implementierten wir eine weitere Matlab-Funktion, welche in den Codes zu sehen ist. Das erwartete Ergebnis war wieder ein positiver linearer Anstieg.



Abb. 6: Chirp-Signal und der dazugehörige Frequenzanstieg, berechnet aus dem Spektrogramm

1.1.4 Drehzahl-Berechnung anhand Amplitudenspektrum des Motorstroms

Zuletzt wurde die Drehzahl des verwendeten Motors berechnet. Dafür wurden uns drei Messreihen mit jeweils Strom- und Tachomesswerten vorgegeben. Zunächst sollten die Amplitudenspektren der Motorströme erstellt werden, welche uns durch die DFT der Stromwerte gelang. Die erhöhten Amplitudenwerte entsprachen dabei den einfachen Vielfachen der Drehfrequenz des Motors mit der jeweiligen Versorgungsspannung. Die deutlich herausstehenden Peaks dagegen traten nur bei dem 18- oder 36-fachen Vielfachen der Drehfrequenz auf. Dieses Wissen nutzen wir, indem wir anhand eines Matlabalgorithmus den höchsten Peak mit Index ausgeben lassen (die höchsten Peaks waren stets jene, die am nächsten zu der null standen), um daraus eine Frequenz zu bestimmen und durch 18 zu teilen. So berechneten wir die drei geforderten Drehfrequenzen. Der Algorithmus steht in den Codes, die drei Amplitudenspektren sehen folgendermaßen aus:

1 VORBEREITUNGSAUFGABEN

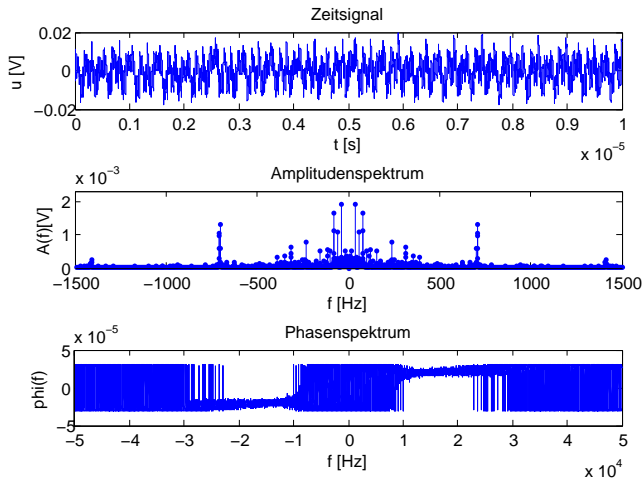


Abb. 7: Spektrum des Motorstroms bei 10V

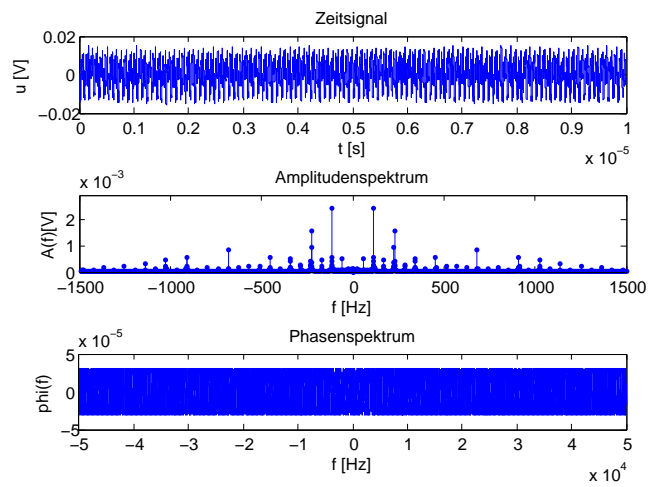


Abb. 8: Spektrum des Motorstroms bei 20V

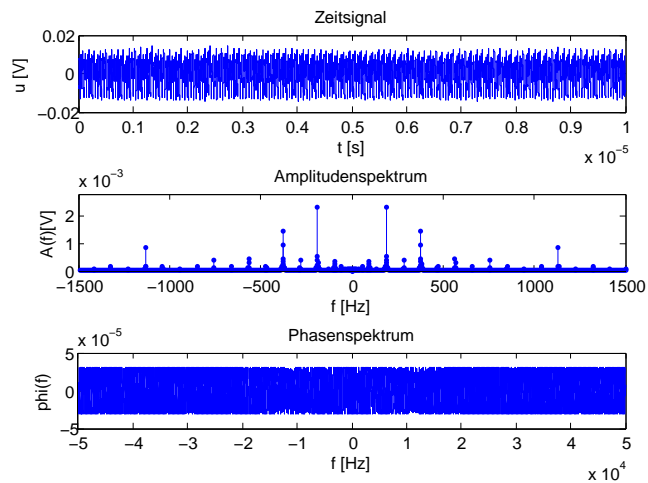


Abb. 9: Spektrum des Motorstroms bei 30V

Die berechneten Drehfrequenzen betragen für die erste Messung ($10V$) = $19.5627Hz$, für die zweite Messung ($20V$) = $56.8131Hz$ und für die dritte Messung ($30V$) = $94.31343Hz$.

Außerdem wurden die Drehfrequenzen auch aus den jeweiligen Tachosignalen bestimmt. Dafür wurde genauso vorgegangen wie bei den Motorströmen. Die Spektren sind hier:

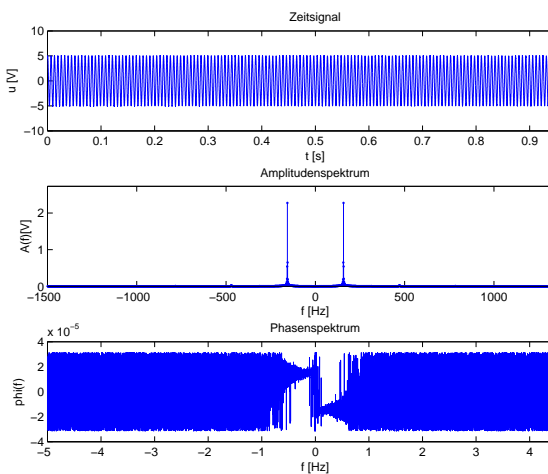


Abb. 10: Spektrum des Tachosignals bei 10V

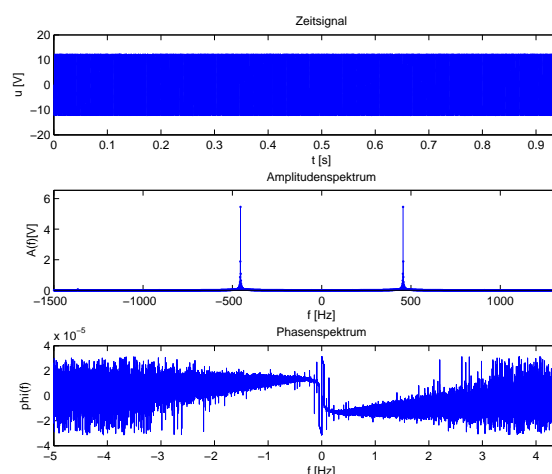


Abb. 11: Spektrum des Tachosignals bei 20V

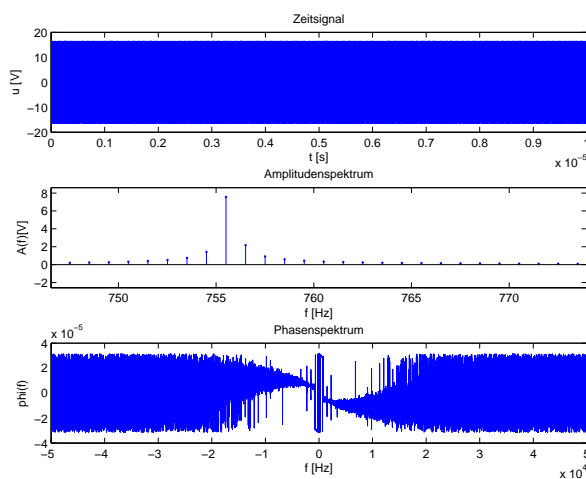


Abb. 12: Spektrum des Tachosignals bei 30V

Die anhand der Tachosignale berechneten Drehfrequenzen betragen für die erste Messung ($10V$) = $19.5627Hz$, für die zweite Messung ($20V$) = $56.8131Hz$ und für die dritte Messung ($30V$) = $94.3134Hz$.

Es fällt auf, dass die Drehzahlen, welche über die Ströme berechnet werden, ca. 4mal kleiner sind als die Drehzahlen über die Tachowerte. Ein konstanter Faktor von 4 kann angenommen werden.

1.2 Vorbereitungsaufgaben zu Termin 8

1.2.1 Zerlegung des Signals mittels Haar-Tranformation

In der ersten Vorbereitungsaufgabe des 8.Praktikumstermins wird eine vorgegebene strom.m Datei verwendet, welche einen angeknittenen Sinus im Bereich $[0, 8\pi]$ darstellt. Dieses Signal wird mit der Schnellen Haar-Transformation zerlegt. Außerdem wird die Approximation und die Details für die Skalierungen $m = 1 \dots 5$

berechnet werden, wofür die drei Funktionen haardec.m, haardeclevel.m und getAppDet.m implementiert werden. Diese stehen unter den Codes.

1.2.2 Darstellung der Approximationen

Als nächstes werden die Approximationen und die Details des angeschnittenen Sinus-Signals dargestellt und das stationäre Spektrum sowie das Spektrogramm berechnet. Diese spektralen Darstellungen werden mit den Darstellungen mittels Wavelets verglichen. Am Ende soll ermittelt werden, welche Darstellung bestimmte Informationen über das verwendete Signal besser veranschaulicht.

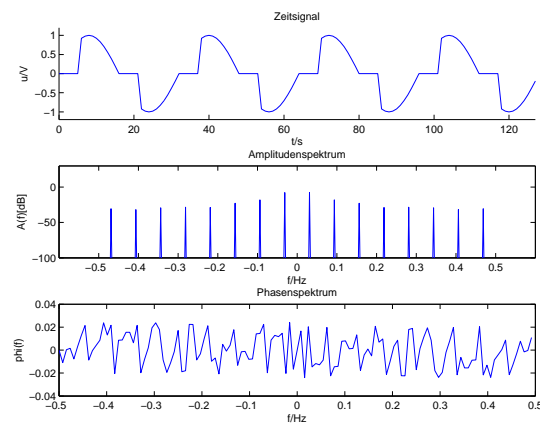


Abb. 13: Spektrum des angeschnittenen Sinus-Signal

Im stationären Spektrum des gegebenen Signals kann man die Frequenzanteile mit ihren entsprechenden Amplituden erkennen.

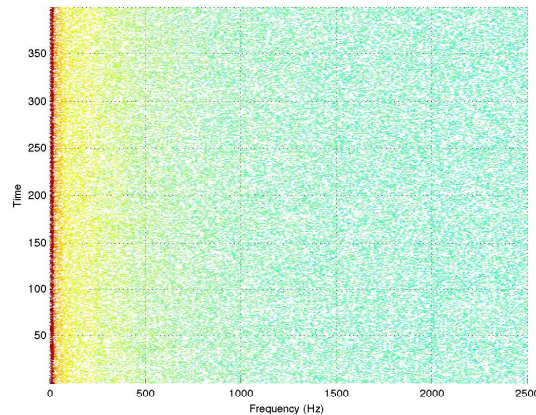


Abb. 14: Spektrogramm des angeschnittenen Sinus-Signal

Außerdem kann man im Spektrogramm des Signals die durch die Anschneidung entstandenen Flanken erkennen. Dies macht sich in dem zeitlich periodischen Farbverlauf des Spektrograms deutlich sichtbar.

Die Darstellungen der Approximationen und der Details für fünf Skalierungslevel sind dabei in der vierten Aufgabe der Vorbereitung dargestellt, wo sie auch zeitgleich mit den Zerlegungen des Daubechies-Wavelets (db3) verglichen werden. Da eine Zerlegung mittels Wavelets eine Tief- und Hochpassfilterung darstellt, kann man es so interpretieren, dass die gefilterten tiefen Frequenzen als Approximationen und die gefilterten hohen Frequenzen als Details abgespeichert werden. Je öfter eine Zerlegung stattfindet, desto öfter wird die Approximation hoch- und tiefpassgefiltert, wodurch am Ende in dem Approximationsvektor nur noch die aller tiefsten Frequenzen enthalten sind.

1.2.3 Daubechies-Wavelets

Nun wird das angeschnitte Sinus-Signal mit Hilfe von Daubechies-Wavelets zerlegt. Dazu verwenden wir die Matlab-Funktionen wavedec, appcoef und detcoef und variieren die Anzahl der verschwindenden Momente der Wavelets, indem wir bei der wavedec.m Ausführung die Wavelets db1, db5, db10 und db15 wählen. Damit werden die verschwindenden Momente in jedem Wavelet 1, 5, 10 und 15 betragen. Es werden nur die Zerlegungen in Level 2 angezeigt.

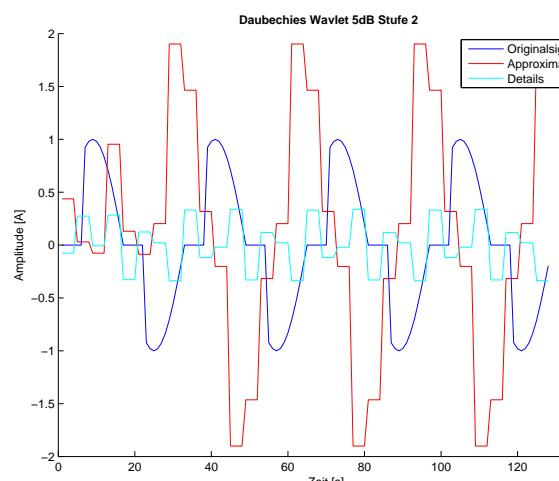
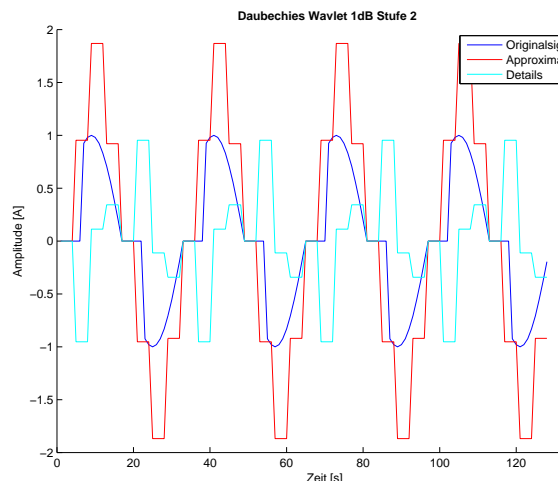


Abb. 15: Daubechies-Wavelet mit 1 vanishing moment

Abb. 16: Daubechies-Wavelet mit 5 vanishing moment

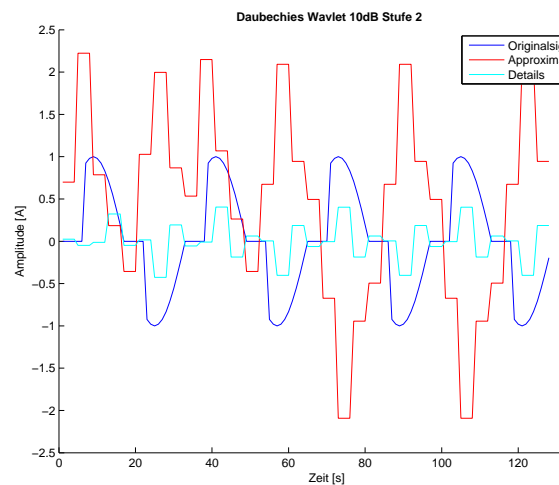


Abb. 17: Daubechies-Wavelet mit 10 vanishing moment

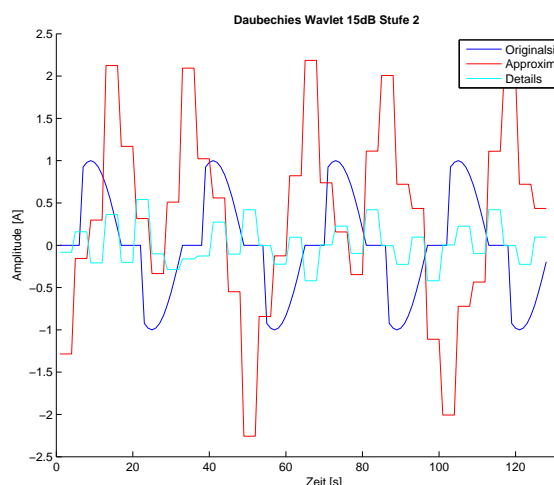


Abb. 18: Daubechies-Wavelet mit 15 vanishing moment

Man kann sehen, dass sich die Zerlegungen deutlich voneinander unterscheiden. Gehen wir zunächst auf die Approximationen ein. Es ist deutlich, dass es bei der ersten Darstellung mit nur einem verschwindenden Moment kaum einen Unterschied zu einer Haar-Wavelet Zerlegung gibt, wohingegen es bei der Zerlegung mit fünf verschwindenden Momenten der Verlauf der Approximationen sich ein wenig verändert. Wird die Anzahl der verschwindenden Momente auf zehn verdoppelt, so wird der Verlauf noch unkontinuierlicher und einzelne Amplituden fangen an zu schwanken. Bei fünfzehn bestätigt sich diese Beobachtung sogar verstärkt. Sieht man sich die Details der Zerlegungen an, entdeckt man ebenfalls eine Veränderung. Ähnlich wie bei den Approximationen wird der kontinuierliche Verlauf mit steigender Anzahl an verschwindenden Momenten gestört und die Amplituden variieren und verkleinern sich.

1.2.4 Vergleich der Zerlegungen mittels Daubechies-Wavelets und Haar-Wavelets

Zuletzt wird in der Vorbereitung des Praktikums die Zerlegungen mittels Daubechies-Wavelets mit den Zerlegungen mittels Haar-Wavelets verglichen. Die Unterschiede sind folgende:

1 VORBEREITUNGSAUFGABEN

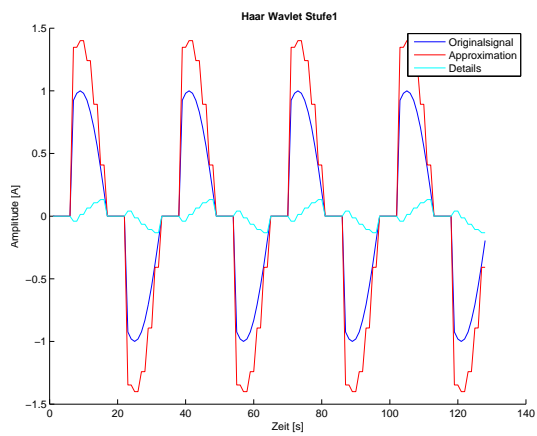


Abb. 19: Haar-Wavelet Zerlegung, Level 1

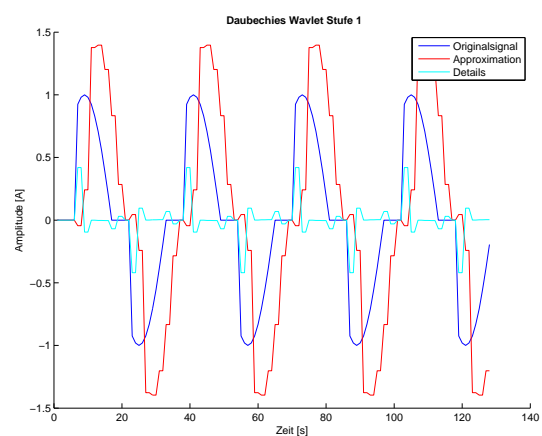


Abb. 20: Daubechies-Wavelet Zerlegung, Level 1

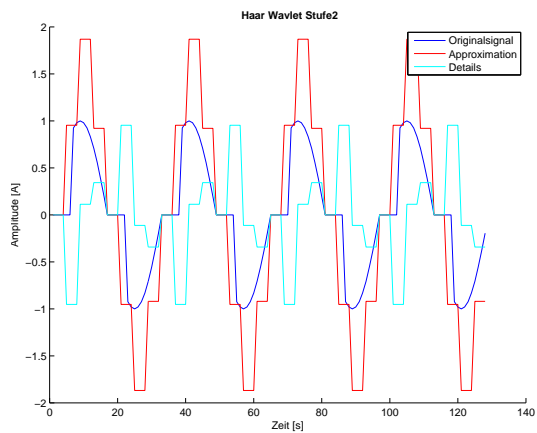


Abb. 21: Haar-Wavelet Zerlegung, Level 2

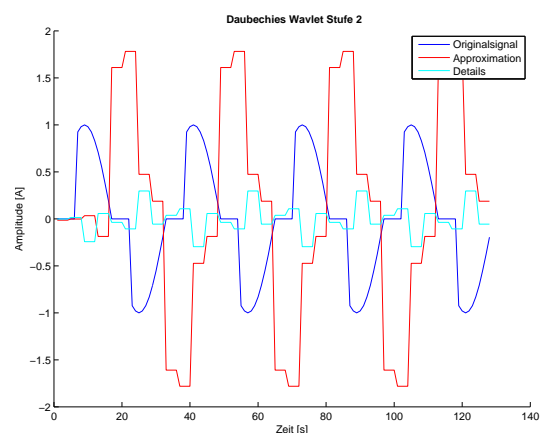


Abb. 22: Daubechies-Wavelet Zerlegung, Level 2

1 VORBEREITUNGSAUFGABEN

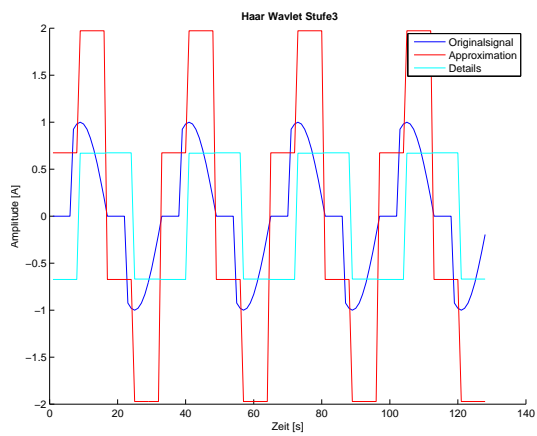


Abb. 23: Haar-Wavelet Zerlegung, Level 3

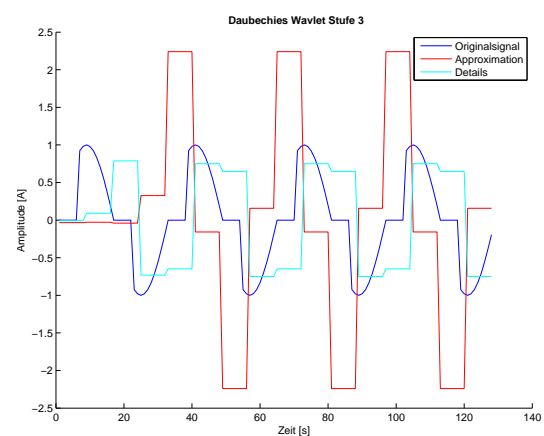


Abb. 24: Daubechies-Wavelet Zerlegung, Level 3

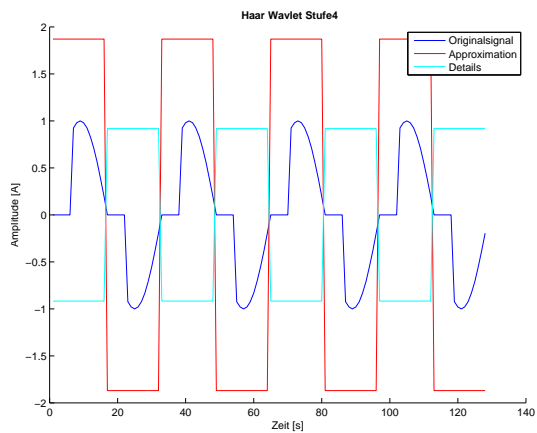


Abb. 25: Haar-Wavelet Zerlegung, Level 4

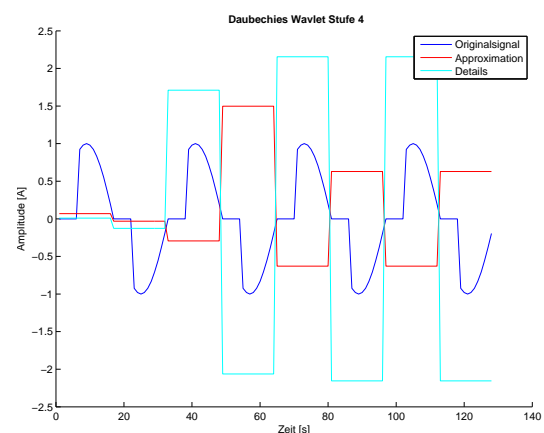


Abb. 26: Daubechies-Wavelet Zerlegung, Level 4

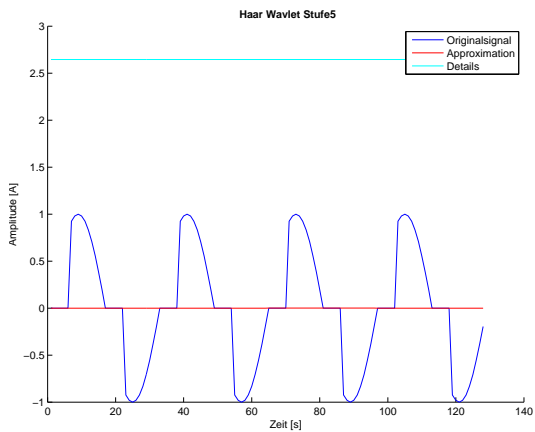


Abb. 27: Haar-Wavelet Zerlegung, Level 5

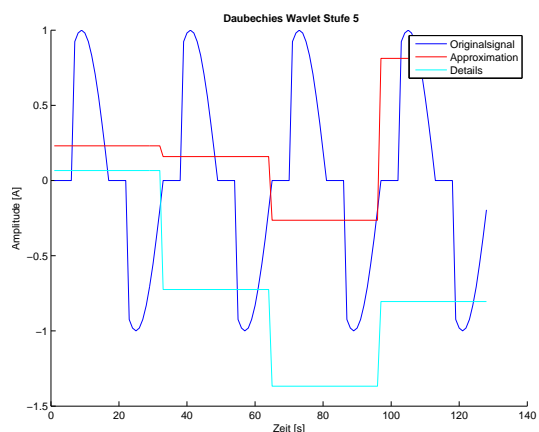


Abb. 28: Daubechies-Wavelet Zerlegung, Level 5

Zuerst fällt auf, dass die Zerlegung mit unterschiedlichen Wavelets unterschiedliche Approximation und daraus resultierend unterschiedliche Details zur Folge hat. Des weiteren fällt auf, dass bei der Haar-Wavelet Transformation in der Stufe 5 alle 4 Werte konstant 0 sind, während die Werte der Approximation bei der Daubechies-Wavelets Transformation unterschiedlich sind.

Da sich jede Approximationsstufe auch als ein Tiefpass interpretiert lässt finden sich in jeder Wavelet Stufe Informationen über einen speziellen Frequenzbereich. Zum Beispiel zeigen die Details des oben gezeigten Stroms klar die Anschnittsmomente des Stroms.

2 Durchführungen

2.1 Durchführung zu Termin 7

TODO:

Timo schreibt was

2.2 Durchführung zu Termin 8

Der Versuchsaufbau im 8.Termin des Praktikums ähnelte sehr dem Aufbau aus 7.Termin. Anstatt den Motorstrom und das Tachosignal aufzunehmen, haben wir diesesmal nur den Strom (AC- und DC-Anteil) des fehlerfreien Universalmotors aufgenommen. Dieses Signal wurde dann mithilfe von Haar- und Daubechies-Wavelets zerlegt und untersucht. Dabei sollten geeignete Approximations- und Detailsdarstellungen gewählt werden, um den Einschaltzeitpunkt und den Drehzahlanstieg über der Zeit darzustellen.

Außerdem wurde der Strom (nur AC-Anteil) des fehlerfreien Motors und des Motors mit Lamellenfehler im stationären Zustand aufgenommen. Diese Stromsignale der zwei verschiedenen Motoren wurden dann anhand der Wavelets auf Unterschiede untersucht. Die Ergebnisse werden in der Auswertung diskutiert.

3 Auswertung

3.1 Auswertung Termin 7

TODO:

timo schreibt was

3.2 Auswertung Termin 8

TODO:

noch zu schreiben

Zunächst werten wir die Messung des Motorstroms am hochfahrenden Universalmotor, indem wir das Originalsignal mit einem Haar- und einem Daubechies-Wavelet zerlegen und uns die Details und die Approximationen bis zum 12. Level angucken. Die geplotteten Ergebnisse sind hier:

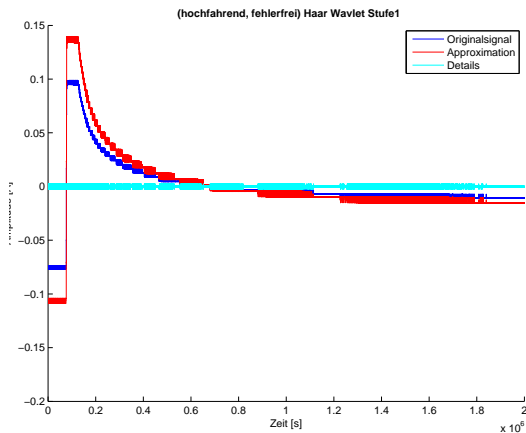


Abb. 29: Haar-Wavelet Zerlegung, Level 1

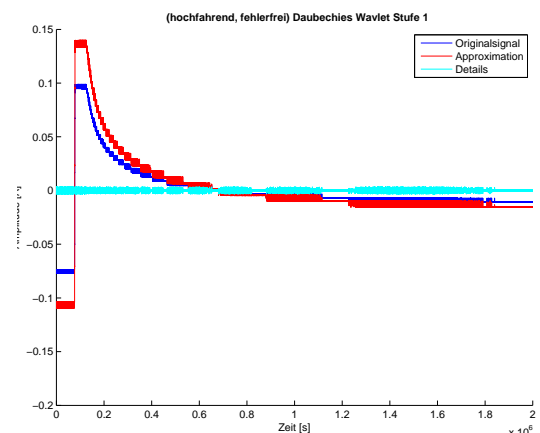


Abb. 30: Daubechies-Wavelet Zerlegung, Level 1

3 AUSWERTUNG

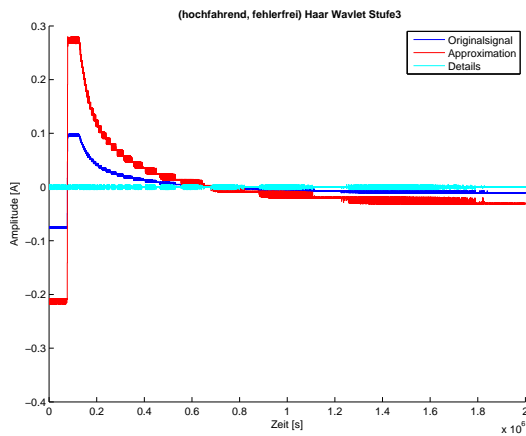


Abb. 31: Haar-Wavelet Zerlegung, Level 3

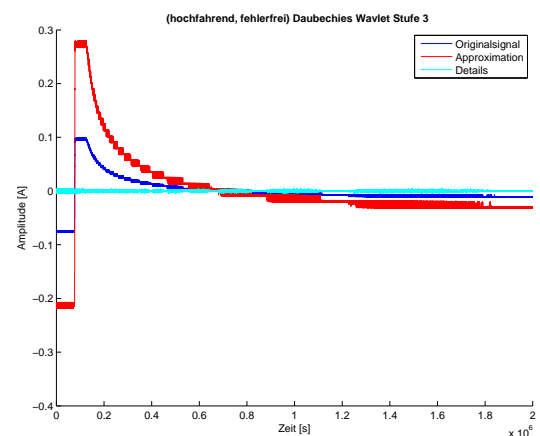


Abb. 32: Daubechies-Wavelet Zerlegung, Level 3

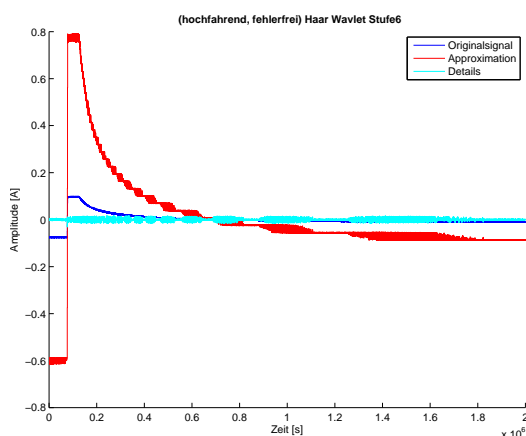


Abb. 33: Haar-Wavelet Zerlegung, Level 6

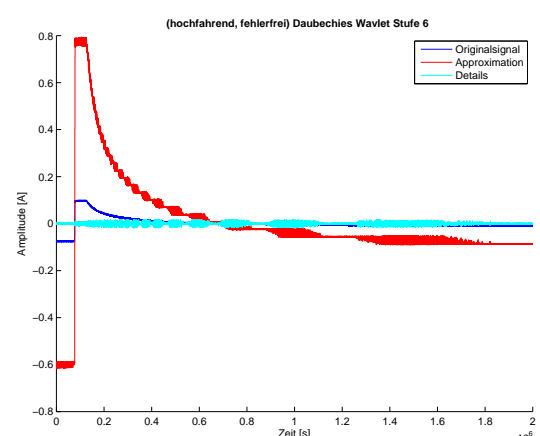


Abb. 34: Daubechies-Wavelet Zerlegung, Level 6

3 AUSWERTUNG

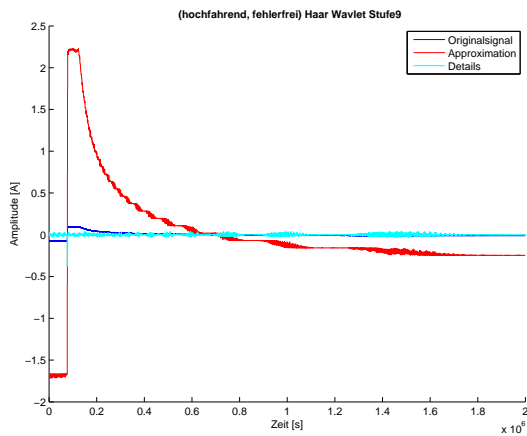


Abb. 35: Haar-Wavelet Zerlegung, Level 9

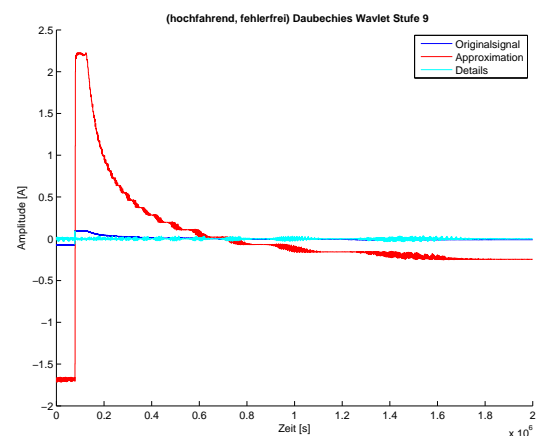


Abb. 36: Daubechies-Wavelet Zerlegung, Level 9

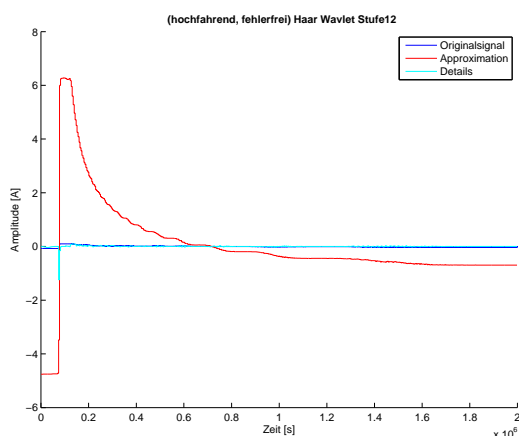


Abb. 37: Haar-Wavelet Zerlegung, Level 12

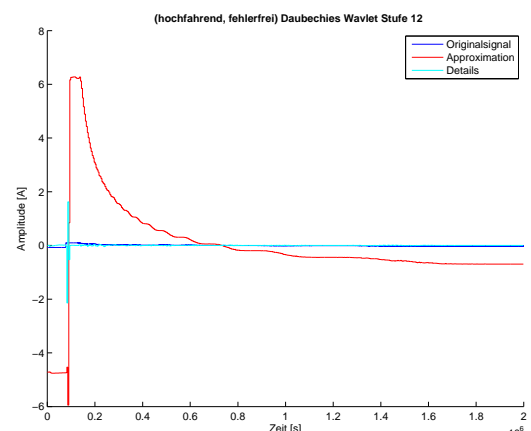


Abb. 38: Daubechies-Wavelet Zerlegung, Level 12

3 AUSWERTUNG

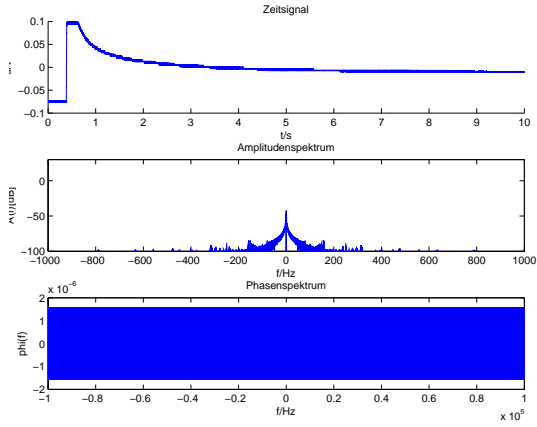


Abb. 39: Strom-Spektrum bei hochlaufendem Motor

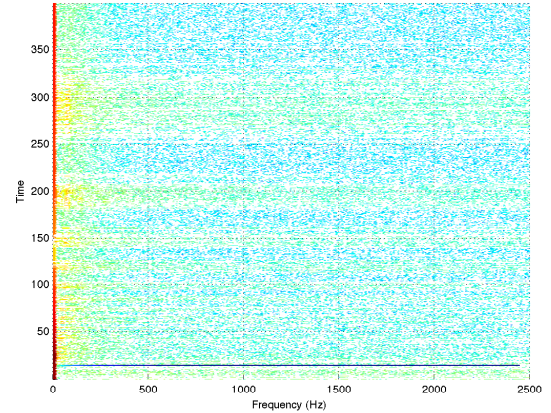


Abb. 40: Strom-Spectrogramm bei hochlaufendem Motor

Sowohl in der Zerlegung durch ein Haar-, als auch in der Zerlegung mit einem Daubechies-Wavelet kann man sehen, dass die Approximationskurven, wie erwartet den Originalsignalverlauf annehmen, auch wenn es Unterschiede in der Amplitude vorhanden sind. Das relevante an diesen Darstellungen ist erst ab Level 9 sichtbar. im 9. Level kann man erkennen, dass die Detailkurven in beiden Zerlegungen einen Ausschlag in dem Zeitpunkt des Motoranschaltens vorweisen. Bei dem Haar-Wavelet ist dieser Peak negativ, bei dem Daubechies-Wavelet dagegen im 9. Level erst positiv, im 12. Level aber sowohl in den negativen als auch in den positiven Bereich ausgeprägt. Diese Peaks in den Detailkurven verdeutlichen damit den Anschaltvorgang des Universal-motors.

Als nächstes werden die Stromsignale im stationären Zustand eines fehlerfreien Motors und eines Motors mit Lamellenfehler anhand der beiden verwendeten Wavelets zerlegt und untersucht. Zuerst werden die Zerlegungen der fehlerfreien Motorstroms diskutiert:

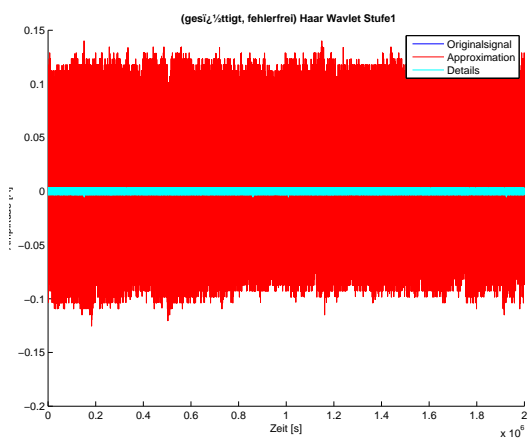


Abb. 41: Haar-Wavelet Zerlegung, Level 1

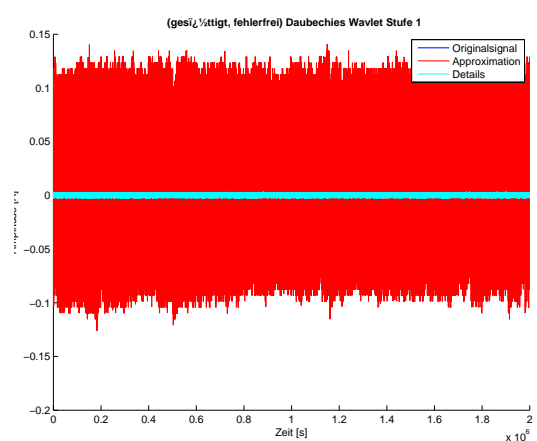


Abb. 42: Daubechies-Wavelet Zerlegung, Level 1

3 AUSWERTUNG

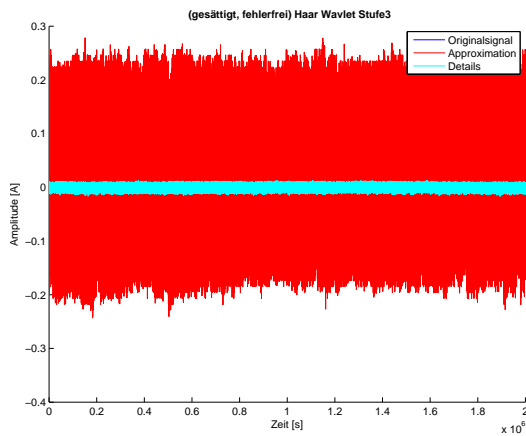


Abb. 43: Haar-Wavelet Zerlegung, Level 3

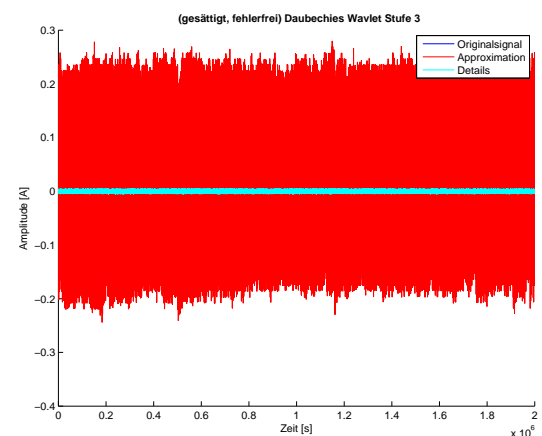


Abb. 44: Daubechies-Wavelet Zerlegung, Level 3

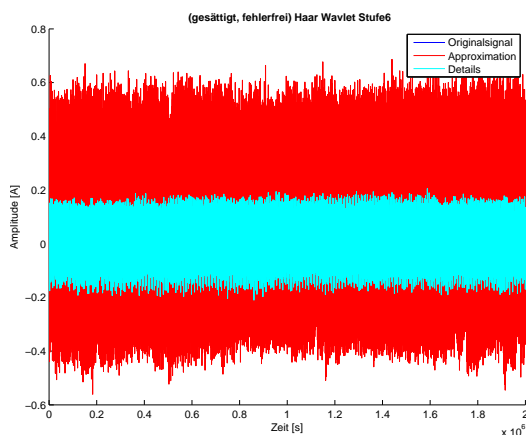


Abb. 45: Haar-Wavelet Zerlegung, Level 6

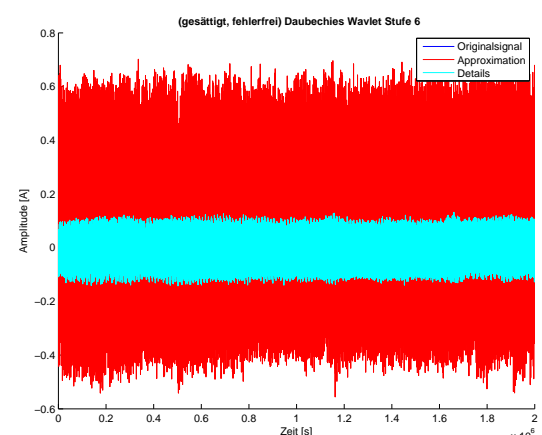


Abb. 46: Daubechies-Wavelet Zerlegung, Level 6

3 AUSWERTUNG

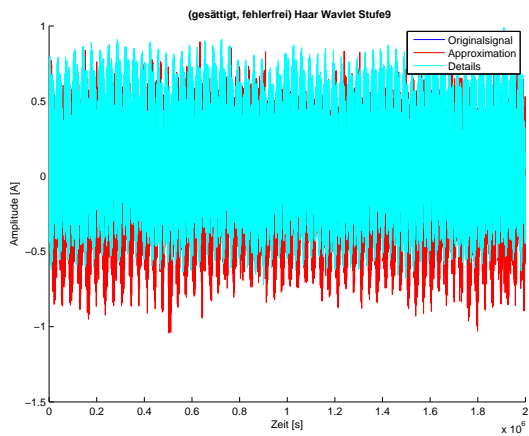


Abb. 47: Haar-Wavelet Zerlegung, Level 9

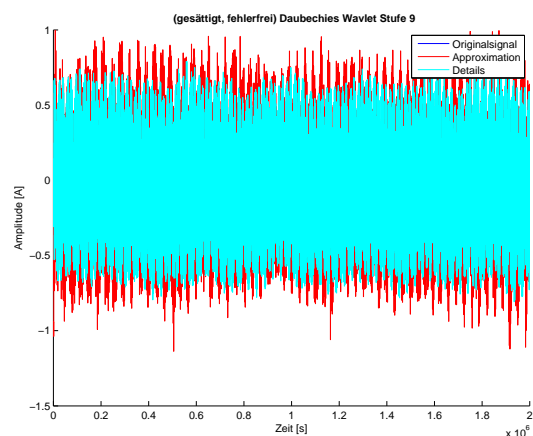


Abb. 48: Daubechies-Wavelet Zerlegung, Level 9

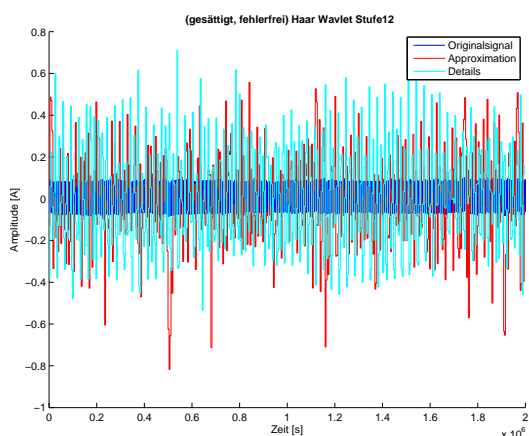


Abb. 49: Haar-Wavelet Zerlegung, Level 12

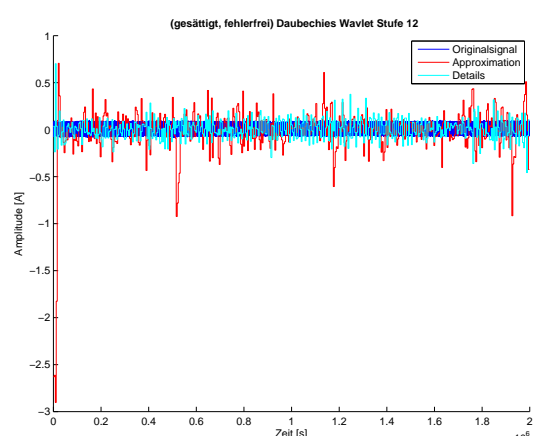


Abb. 50: Daubechies-Wavelet Zerlegung, Level 12

3 AUSWERTUNG

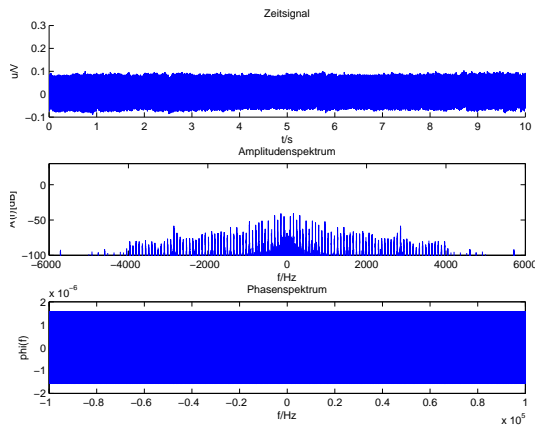


Abb. 51: Strom-Spektrum, fehlerfrei und gesättigt

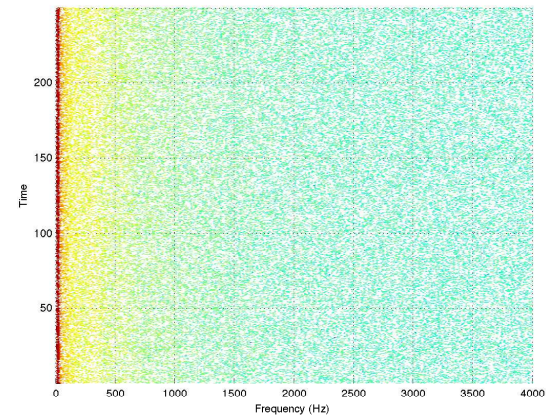


Abb. 52: Strom-Spectrogram, fehlerfrei und gesättigt

TODO:

Auswertung schreiben

Als nächstes folgen die Zerlegungen des Stroms bei dem mit Lamellenfehler belasteten Motor:

3 AUSWERTUNG

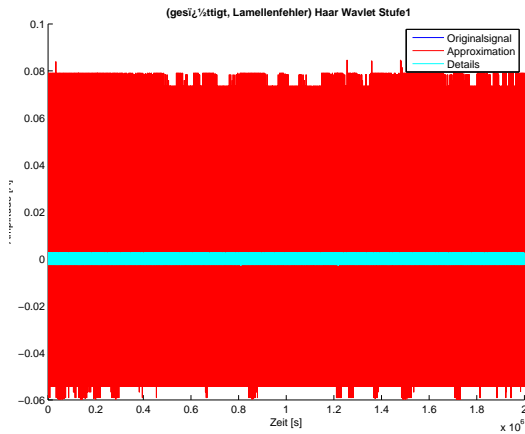


Abb. 53: Haar-Wavelet Zerlegung, Level 1

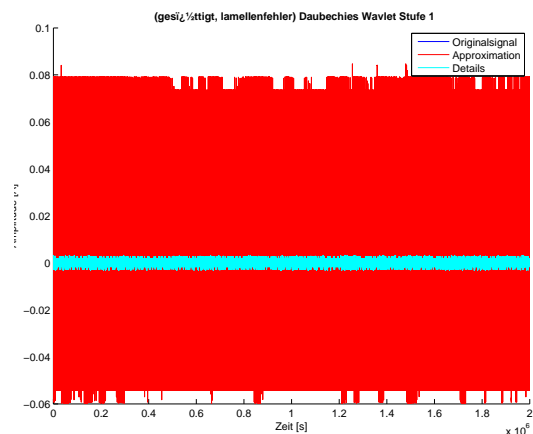


Abb. 54: Daubechies-Wavelet Zerlegung, Level 1

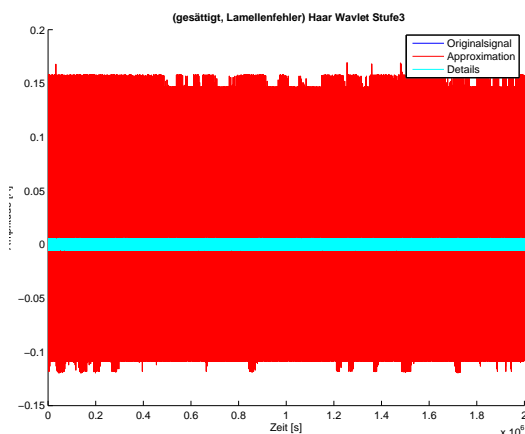


Abb. 55: Haar-Wavelet Zerlegung, Level 3

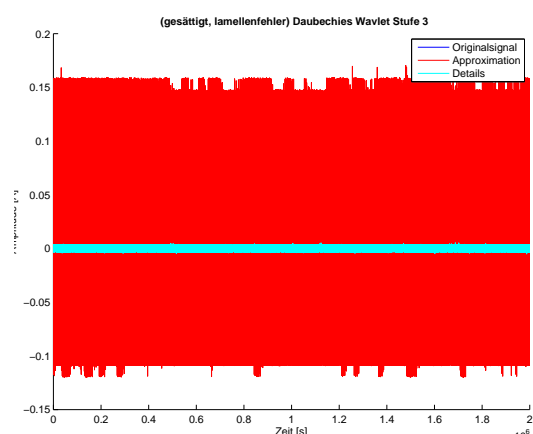


Abb. 56: Daubechies-Wavelet Zerlegung, Level 3

3 AUSWERTUNG

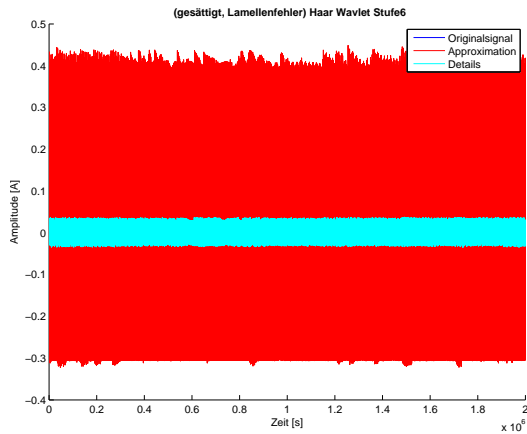


Abb. 57: Haar-Wavelet Zerlegung, Level 6

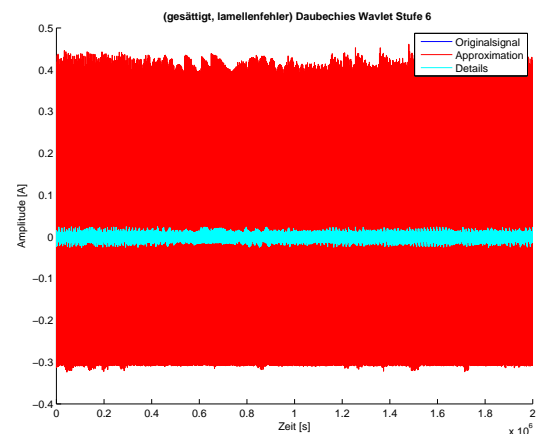


Abb. 58: Daubechies-Wavelet Zerlegung, Level 6

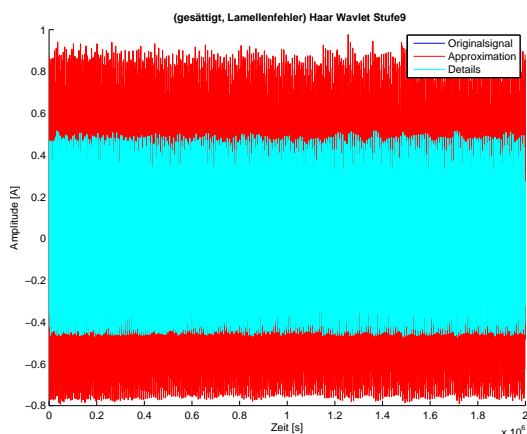


Abb. 59: Haar-Wavelet Zerlegung, Level 9

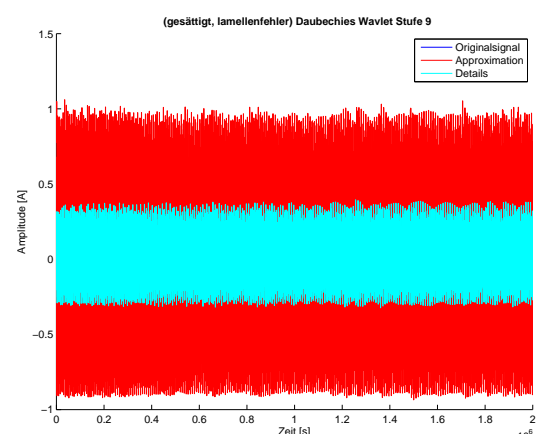


Abb. 60: Daubechies-Wavelet Zerlegung, Level 9

4 QUELLCODES

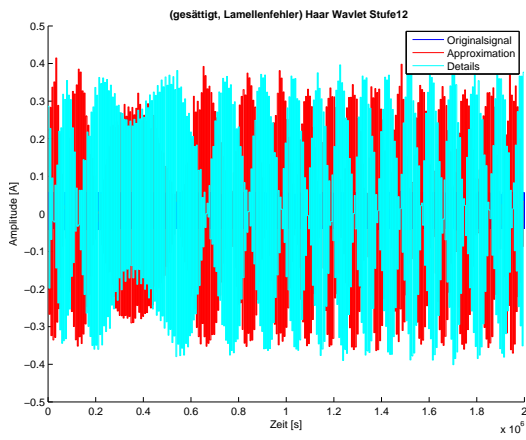


Abb. 61: Haar-Wavelet Zerlegung, Level 12

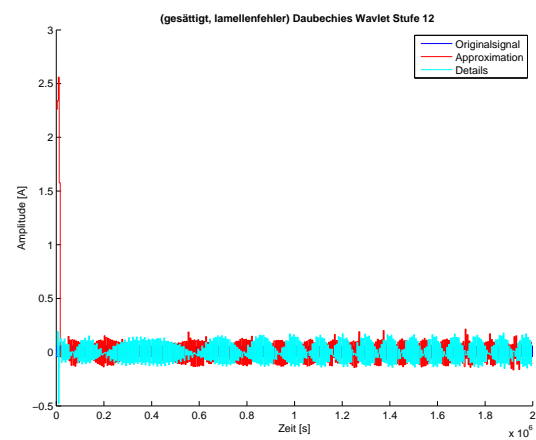


Abb. 62: Daubechies-Wavelet Zerlegung, Level 12

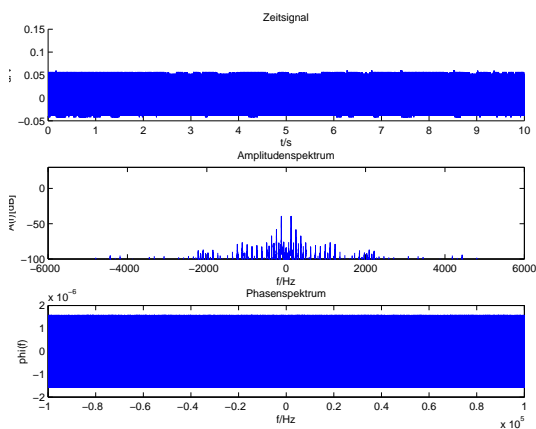


Abb. 63: Strom-Spektrum, mit Lamellenfehler und gesättigt

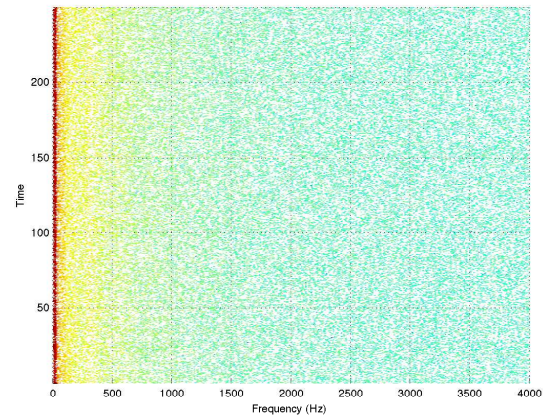


Abb. 64: Strom-Spectrogramm, mit Lamellenfehler und gesättigt

TODO:

Auswertung schreiben

4 Quellcodes

4.1 Codes aus Termin 7

4.1.1 Frequenzverlauf über der Zeit

Listing 1: frequenz im Zeitbereich ausSignal

```
1 %Funktion zum Errechnen der Frequenz aus dem Zeitsignal
2
```

```

3 function frequenz_imZeitbereich_ausSignal (u, t)
4
5 p = length(t);
6 q = max(t)/p;
7
8 i = 0;
9 for k = 1:length(u)-1 %i = Anzahl der Nulldurchge
10    if (u(k) < 0 && u(k+1) >=0) || (u(k) > 0 && u(k+1) <=0)
11        i = i+1;
12    end
13 end
14
15 nulldurchgang = ones(1,i)*-9; %Vektor der Le i
16
17 j = 1;
18 for indx = 1:length(u)-1
19    if (u(indx) < 0 && u(indx+1) >=0) || (u(indx) > 0 && u(indx+1) <=0)
20        if abs(u(indx)) > abs(u(indx+1))
21            nulldurchgang(j) = indx+1;
22        else
23            nulldurchgang(j) = indx; %Index, welcher am nstens am Nulldurchgang ist, wird
24            bernommen
25        end
26        j = j+1;
27    end
28 end
29
30 %Vektor fr Frequenzeintr
31 v = length(nulldurchgang);
32 frequenzen = ones(1,v)*-9;
33
34 for n = 1:v-4 %4 Nulldurchge , also 2 Perioden werden betrachtet
35    diff = nulldurchgang(n+4)-nulldurchgang(n);
36    frequenzen(n) = 1/(diff*0.5*q);
37 end
38
39 figure(1);
40 [AX H1 H2] = plotyy(t,u,nulldurchgang*(max(t)/p),frequenzen,'plot','stem');
41 % AXIS([0 2 -1.1 1.1]);
42 xlabel('Zeitachse [s]');
43 set(get(AX(1),'Ylabel'), 'String', 'Amplitude [V]');
44 set(get(AX(2),'Ylabel'), 'String', 'Frequenz [Hz]');
45 title ('bf u-Signal und Frequenzanstieg ber die Zeit');
46 end

```

4.1.2 Frequenzverlauf aus dem Spektrogramm

Listing 2: frequenz durch Spektrogramm

```

1 % Funktion zur Errechnung der Frequenzen durch das Spektrogramm
2
3 function frequenz_durch_Spektrogramm(x,t)
4
5 N=length(t);
6 fs=N/max(t);
7
8 wnsize=256;

```

```

10 wnooverlap= 250;
11 nr_abtastwerte_frequenz= 256;
12
13 [S,F,T]=spectrogram(x_t,wnsize,wnoverlap,nr_abtastwerte_frequenz,fs);
14
15 %spectrogram(x_t,wnsize,wnoverlap,nr_abtastwerte_frequenz,fs);
16
17 groesse = size(S);
18 maxfrequ = ones(1,groesse(1))*-9;
19 maxfrequ_umgerechnet = ones(1,groesse(1))*-9;
20 maxindx = ones(1,groesse(1))*-8;
21 maxindx_umgerechnet = ones(1,groesse(1))*-8;
22
23 for i=1:groesse(2)
24     [maxfrequ(i) maxindx(i)] = max(abs(S(:,i)));
25     maxfrequ_umgerechnet(i) = F(round(maxindx(i)+1));
26     maxindx_umgerechnet(i) = T(round(i));
27 end
28
29 maxindx_umgerechnet
30
31 figure(204);
32 [AX H1 H2] = plotyy(t,x_t,maxindx_umgerechnet,maxfrequ_umgerechnet,'plot','stem');
33 % AXIS([0 2 -1.1 1.1]);
34 xlabel('Zeitachse[s]');
35 set(get(AX(1),'Ylabel'), 'String', 'Amplitude[V]');
36 set(get(AX(2),'Ylabel'), 'String', 'Frequenz[Hz]');
37 title ('Chirp-Signal und Frequenzanstieg über die Zeit');
38 end

```

4.1.3 Algorithmus zur Drehfrequenzberechnung

Listing 3: Algorithmus zur Drehfrequenzberechnung

```

1 %MDV Praktikum 7 Vorbereitungsaufgabe 4 – Testprogramm
2
3 clear all; clc; close all;
4
5 %Messwerte laden
6 messung1 = load('MotorStrom_10V_100kS.mat');
7 messung2 = load('MotorStrom_20V_100kS.mat');
8 messung3 = load('MotorStrom_30V_100kS.mat');
9
10 % Strme und Tachos identifizieren
11 strom1 = messung1.strom;
12 tacho1 = messung1.tacho;
13 strom2 = messung2.strom;
14 tacho2 = messung2.tacho;
15 strom3 = messung3.strom;
16 tacho3 = messung3.tacho;
17
18 %Versorgungsspannungen
19 A1 = 10;
20 A2 = 20;
21 A3 = 30;
22
23 f_T = 100000;
24 T_ges = 1/f_T;

```

```

25 %plottet Spektren der strome
26 [y_DFT_abs_10V_strom f_DFT_10V_strom]= MotorStrom_Amplitudenspektrum(strom1,T_ges,f_T,10,'b'
27 ,1);
28 [y_DFT_abs_20V_strom f_DFT_20V_strom]= MotorStrom_Amplitudenspektrum(strom2,T_ges,f_T,10,'b'
29 ,2);
30 [y_DFT_abs_30V_strom f_DFT_30V_strom]= MotorStrom_Amplitudenspektrum(strom3,T_ges,f_T,10,'b'
31 ,3);
32 %findet Index vom hchsten Peak
33 [maxwert10_strom maxind10_strom]= max(y_DFT_abs_10V_strom);
34 [maxwert20_strom maxind20_strom]= max(y_DFT_abs_20V_strom);
35 [maxwert30_strom maxind30_strom]= max(y_DFT_abs_30V_strom);
36 %berechnet entsprechende Drehzahl
37 Drehzahl_Motor_10V_strom = abs(f_DFT_10V_strom(maxind10_strom))/18
38 Drehzahl_Motor_20V_strom = abs(f_DFT_20V_strom(maxind20_strom))/18
39 Drehzahl_Motor_30V_strom = abs(f_DFT_30V_strom(maxind30_strom))/18
40 %plottet Spektren der tachos
41 [y_DFT_abs_10V_tacho f_DFT_10V_tacho]= MotorStrom_Amplitudenspektrum(tacho1,T_ges,f_T,10,'b'
42 ,4);
43 [y_DFT_abs_20V_tacho f_DFT_20V_tacho]= MotorStrom_Amplitudenspektrum(tacho2,T_ges,f_T,20,'b'
44 ,5);
45 [y_DFT_abs_30V_tacho f_DFT_30V_tacho]= MotorStrom_Amplitudenspektrum(tacho3,T_ges,f_T,30,'b'
46 ,6);
47 %findet Index vom hchsten Peak
48 [maxwert10_tacho maxind10_tacho]= max(y_DFT_abs_10V_tacho);
49 [maxwert20_tacho maxind20_tacho]= max(y_DFT_abs_20V_tacho);
50 [maxwert30_tacho maxind30_tacho]= max(y_DFT_abs_30V_tacho);
51 %berechnet entsprechende Drehzahl
52 Drehzahl_Motor_10V_tacho = abs(f_DFT_10V_tacho(maxind10_tacho))/8
53 Drehzahl_Motor_20V_tacho = abs(f_DFT_20V_tacho(maxind20_tacho))/8
54 Drehzahl_Motor_30V_tacho = abs(f_DFT_30V_tacho(maxind30_tacho))/8
55
56
57 % Drehzahl_Motor_10V_tacho/Drehzahl_Motor_10V_strom
58 % Drehzahl_Motor_20V_tacho/Drehzahl_Motor_20V_strom
59 % Drehzahl_Motor_30V_tacho/Drehzahl_Motor_30V_strom
60
61 Drehzahl_Motor_10V_tacho/Drehzahl_Motor_10V_strom
62 Drehzahl_Motor_20V_tacho/Drehzahl_Motor_20V_strom
63 Drehzahl_Motor_30V_tacho/Drehzahl_Motor_30V_strom
64

```

4.2 Codes aus Termin 8

4.2.1 Funktion haardec.m

Listing 4: Funktion haardec.m

```

1 % Vorbereitungsaufgabe 1.1 Termin 8
2 function [u,v] = haardec.8_1_1(x)
3 % function [u,v] = haardec(x)
4 % -----

```

4 QUELLCODES

```
5 % filename : haardec
6 % author: g Dogan, Timo Lausen, Boris Henckell
7 % organisation : TU Berlin
8 % p r o j e c t : MDV PR
9 % date : 04.07.2012
10 %
11 % description : fht einen Zerlegungsschritt
12 % der schnellen Haartransformation durch
13 % input : x - zu zerlegendes Signal
14 % output : u - Approximationen
15 % v - Details
16 %
17
18 N = length(x);
19 u = ones(1,N/2)*-99;
20 v = ones(1,N/2)*-88;
21 j=1;
22 for i=1:N/2
23     u(i) = (x(j)+x(j+1))/sqrt(2);
24     v(i) = (x(j)-x(j+1))/sqrt(2);
25     j=j+2;
26 end
```

4.2.2 Funktion haardeclevel.m

Listing 5: Funktion haardeclevel.m

```
1 % Vorbereitungsaufgabe 1.2 Termin 8
2 function S = haardeclevel.8_1_2(x,lvl)
3 % function [S] = haardeclevel(x, lvl )
4 %
5 % filename : haardeclevel
6 % author: g Dogan, Timo Lausen, Boris Henckell
7 % organisation : TU Berlin
8 % p r o j e c t : MDV PR
9 % date : 04.07.2012
10 %
11 % description : fht die schnelle Haartransformation
12 % bis zu einem vorgegebenen
13 % Skalierungslevel durch
14 % input: x ? zu zerlegendes Signal
15 % lvl ? Skalierungslevel
16 % output: S ? Matrix mit Skalierungen und Details
17 % Dimensionen: lvl+1: Signalle
18 % Jede Zeile enth die Approximationen
19 % gefolgt von den Details eines Levels
20 %
21 N = length(x);
22 S = ones(lvl+1,N)*-77;
23
24 S(1,:) = x;
25 u = x;
26 for i=2:lvl +1
27     [u v] = haardec_8_1_1(u);
28     N2 = length(u);
29     S(i,:) = [u,v,S(i-1,2*N2+1:N)];
30 end
```

4.2.3 Funktion getAppDet.m

Listing 6: Funktion getAppDet.m

```

1 % Vorbereitungsaufgabe 1.3 Termin 8
2 function [u,v] = getAppDet_8_1_3(S, lvl )
3 % function [u,v] = getAppDet(S, lvl )
4 %
5 % filename :      getAppDet
6 % author:        g Dogan, Timo Lausen, Boris Hendkell
7 % organisation : TU Berlin
8 % p r o j e c t : MDV PR
9 % date :         04.07.2012
10 %
11 % description : extrahiert die Approximationen
12 %                 und details eines Levels
13 % input :        S ? Matrix mit Signalzerlegeung
14 %                 lvl ? Skalierungslevel
15 % output :       u ? Approximationen
16 %                 v ? Details
17 %
18 [M N] = size(S);
19 u = S(lvl+1,(1:N/(2^lvl)));
20 % v = S(lvl+1,(N/(2^lvl)+1:N));
21 v = S(lvl+1,(N/(2^lvl))+1:2*N/(2^lvl)));

```

4.2.4 Funktion Daubechies_Wavelets.m

Listing 7: Funktion Daubechies_Wavelets.m

```

1 %MDV Praktikum 8 Vorbereitungsaufgabe 3
2 %Daubechies-Wavelets
3 %Bemerkung: Anzahl der verschwindenden Momenten varierbar durch
4 %db1,db4,db15
5
6
7 function [approx details] = Daubechies_Wavelets(x,lvl, db)
8
9 %Skalierungslevel variabel
10 N = lvl ;
11
12 %mittels wavedec: Daubechies-Wavelet ('db1'-wavename)
13 % C      = [app. coef.(N)|det. coef.(N) |... |det. coef.(1)]
14 % L(1)   = length of app. coef.(N)
15 % L(i)   = length of det. coef.(N-i+2) for i = 2,..., N+1
16 % L(N+2) = length(X)
17 [C,L] = wavedec(x,N,db);
18
19 %mittel appcoef: Berechnung der App.Koeffizienten in Level N
20 %gibt Vektor approx der Lnge L(1) mit den Koeffizienten aus
21 approx = appcoef(C,L,db,N);
22
23 %mittels detcoef: Berechnung der Det.Koeffizienten in Level N
24 %gibt Vektor details der Lnge L(1) mit den Koeffizienten aus
25 %braucht keine Wavelet-Vorgabe mehr, nur Ergebnisse aus wavedec
26 details = detcoef(C,L,N);

```

4.2.5 Vorbereitungsaufgaben Plots

Listing 8: Aufrufe für die Plots

```

1 % Vorbereitungsaufgaben 8
2
3 close all; clc, clear;
4
5 load('strom');
6
7 Bilder_abspeichern = 0;
8
9 S = haardeclevel_8_1_2(x,5);
10
11 fignum=801;
12 for lvl=1:5
13 %% errechnen der Approximation und Details des jeweiligen Levels
14 [u v] = getAppDet_8_1_3(S, lvl);
15
16 [ud vd] = Daubechies_Wavelets(x,lvl,'db3');
17 [ud1 vd1] = Daubechies_Wavelets(x,lvl,'db1');
18 [ud5 vd5] = Daubechies_Wavelets(x,lvl,'db5');
19 [ud10 vd10] = Daubechies_Wavelets(x,lvl,'db10');
20 [ud15 vd15] = Daubechies_Wavelets(x,lvl,'db15');
21
22 %% Strecken des Approximation und der Details
23 N=length(u);
24 u2=ones(1,N*2^lvl);
25 v2=ones(1,N*2^lvl);
26
27 ud2 = ones(1,N*2^lvl);
28 vd2 = ones(1,N*2^lvl);
29 ud21 = ones(1,N*2^lvl);
30 vd21 = ones(1,N*2^lvl);
31 ud25 = ones(1,N*2^lvl);
32 vd25 = ones(1,N*2^lvl);
33 ud210 = ones(1,N*2^lvl);
34 vd210 = ones(1,N*2^lvl);
35 ud215 = ones(1,N*2^lvl);
36 vd215 = ones(1,N*2^lvl);
37
38
39 j=1;
40 % Die Approximation und die Details auf die Länge von x normieren
41 for i=1:N
42     for k=1:2^lvl
43         u2(j) = u(i);
44         v2(j) = v(i);
45         ud2(j) = ud(i);
46         vd2(j) = vd(i);
47         ud21(j) = ud1(i);
48         vd21(j) = vd1(i);
49         ud25(j) = ud5(i);
50         vd25(j) = vd5(i);
51         ud210(j) = ud10(i);
52         vd210(j) = vd10(i);
53         ud215(j) = ud15(i);
54         vd215(j) = vd15(i);
55         j = j+1;
56     end

```

```

57 end
58
59 %% plotten der Approximation und der Details
60 %Haar-Wavelet
61 figure(fignum);
62 hold on
63 plot(x)
64 plot(u2,'r')
65 plot(v2,'c')
66 hold off
67 title ([ '\bf Haar_Wavlet_Stufe',num2str(lvl)]);
68 xlabel('Zeit_[s]');
69 ylabel('Amplitude_[A]');
70 legend('Originalsignal', 'Approximation', 'Details');
71
72 if Bilder_abspeichern == 1
73 figure(fignum);
74 name=[' ..../ Bilder/Termin8/Haar_Wavlet_lvl_ ',num2str(lvl), '.pdf'];
75 print(' -painters', '-dpdf', '-r600',name)
76 end
77
78 fignum= fignum+1;
79
80 % Daubechies-Wavelet
81
82 figure(fignum);
83 hold on
84 plot(x)
85 plot(ud2,'r')
86 plot(vd2,'c')
87 hold off
88 xlabel('Zeit_[s]');
89 ylabel('Amplitude_[A]');
90 legend('Originalsignal', 'Approximation', 'Details');
91
92 title ([ '\bf Daubechies_Wavlet_Stufe',num2str(lvl)]);
93
94 if Bilder_abspeichern == 1
95 figure(fignum);
96 name=[' ..../ Bilder/Termin8/Daubechies_Wavlet_lvl_ ',num2str(lvl), '.pdf'];
97 print(' -painters', '-dpdf', '-r600',name)
98 end
99
100 fignum= fignum+1;
101
102 % 1db Daubechies-Wavelet
103
104 figure(fignum);
105 hold on
106 plot(x)
107 plot(ud21,'r')
108 plot(vd21,'c')
109 hold off
110 xlabel('Zeit_[s]');
111 ylabel('Amplitude_[A]');
112 legend('Originalsignal', 'Approximation', 'Details');
113
114 title ([ '\bf Daubechies_Wavlet_1dB_Stufe',num2str(lvl)]);
115

```

```

116
117 if Bilder_abspeichern == 1
118   figure(fignum);
119   name=[ '../ Bilder/Termin8/Daubechies_Wavlet_1db_lvl',num2str(lvl),'.pdf'];
120   print(' -painters', '-dpdf', '-r600',name)
121 end
122
123 fignum= fignum+1;
124
125 % 5db Daubechies-Wavelet
126
127 figure(fignum);
128 hold on
129 plot(x)
130 plot(ud25,'r')
131 plot(vd25,'c')
132 hold off
133 title ([ '\bf{Daubechies\_Wavlet\_5dB\_Stufe}',num2str(lvl)]);
134 xlabel('Zeit [s]');
135 ylabel('Amplitude [A]');
136 legend('Originalsignal', 'Approximation', 'Details');
137
138 if Bilder_abspeichern == 1
139   figure(fignum);
140   name=[ '../ Bilder/Termin8/Daubechies_Wavlet_5db_lvl',num2str(lvl),'.pdf'];
141   print(' -painters', '-dpdf', '-r600',name)
142 end
143
144 fignum= fignum+1;
145
146 % 10db Daubechies-Wavelet
147
148 figure(fignum);
149 hold on
150 plot(x)
151 plot(ud210,'r')
152 plot(vd210,'c')
153 hold off
154
155 xlabel('Zeit [s]');
156 ylabel('Amplitude [A]');
157 legend('Originalsignal', 'Approximation', 'Details');
158
159 title ([ '\bf{Daubechies\_Wavlet\_10dB\_Stufe}',num2str(lvl)]);
160
161 if Bilder_abspeichern == 1
162   figure(fignum);
163   name=[ '../ Bilder/Termin8/Daubechies_Wavlet_10db_lvl',num2str(lvl),'.pdf'];
164   print(' -painters', '-dpdf', '-r600',name)
165 end
166
167 fignum= fignum+1;
168
169 % 15db Daubechies-Wavelet
170
171 figure(fignum);
172 hold on
173 plot(x)
174 plot(ud215,'r')

```

```

175 plot(vd215,'c')
176 hold off
177
178 xlabel('Zeit [s]');
179 ylabel('Amplitude [A]');
180 legend('Originalsignal', 'Approximation', 'Details');
181
182
183
184 title ([ '\bf Daubechies-Wavlet-15dB-Stufe',num2str(lvl)]);
185
186 if Bilder_abspeichern == 1
187 figure(fignum);
188 name=[ '../ Bilder/Termin8/Daubechies_Wavlet_15db_lvl',num2str(lvl),'.pdf'];
189 print(' -painters', '-dpdf', '-r600',name)
190 end
191
192 fignum= fignum+1;
193
194
195 end
196
197
198 wn = ones(1,length(x));
199 fs = 1;
200
201 Spektrum(x, wn, fs, 1,'b',-0.6,0.6,-100,30, fignum);
202
203 if Bilder_abspeichern == 1
204 figure(fignum);
205 name=[ '../ Bilder/Termin8/Spektrum.pdf'];
206 print(' -painters', '-dpdf', '-r600',name)
207 end
208
209 fignum=fignum+1;
210 figure(fignum);
211 spectrogram(x,25,24)
212
213 if Bilder_abspeichern == 1
214 figure(fignum);
215 name=[ '../ Bilder/Termin8/Spectrogram.pdf'];
216 print(' -painters', '-dpdf', '-r600',name)
217 end

```